

## 퍼지이론을 이용한 CNC 공작기계의 절삭력제어 Cutting Force Control of a CNC Machine Using Fuzzy Theory

노상현\*, 이상규\*\*, 박운환\*\*\*, 임윤규\*\*\*  
Sang-Hyun Noh\*, Sang-Gyu Lee\*\*, Un-Hwan Park\*\*\*  
Yeun-Kyu Lim\*\*\*

### <Abstract>

Fuzzy control is proposed to regulate cutting force in turning operations under varying cutting conditions. The traditional linear controllers based on crisp mathematical model cannot effectively control cutting force because of the nonlinear dynamics of turning operations. The proposed fuzzy controller is based on operator experience and expert knowledge. The membership functions for the inputs and the output of the controller are designed. Cutting force is regulated by adjusting feedrate according to the variation of cutting conditions. The performance of the proposed controller is evaluated by experiments. The results of experiments show that the proposed fuzzy controller has a good cutting force regulation over a wide range of cutting conditions.

**Key Words :** Fuzzy Control, Cutting Force, Nonlinear, Cutting Condition, Membership Function

### 1. 서 론

절삭가공에서 제품의 생산성과 정밀도 향상을 위하여 CNC 공작기계의 보급이 증가되고 있다. 현재의 CNC 가공에서는 파트프로그래머가 절삭조건을 미리 선택하여야 하며 공작기계가 자동적으로 절삭조건을 선택하여 작업할 수 없다. 그래서 가공시간, 공작물의 표면거칠기 등

과 같은 가공결과는 파트프로그래머의 경험과 지식에 크게 의존하게 된다. 뿐만 아니라 다양한 절삭공정에 대하여 적절한 절삭조건을 선택하는 것은 실제로 매우 어려우며, 파트프로그래머는 과도한 절삭력으로부터 공구와 공작물을 보호하기 위하여 여유있는 절삭조건을 선택하게 되므로 결국 생산성 저하를 가져오게 된다. 그래서 CNC 가공에서 파트프로그래머의 지식

\* 정희원, 대구공업대학 자동차과, 조교수, 工博  
영남대학교 대학원졸업  
대구광역시 달서구 본동 831

\*\* 시대중공업, 기술부장

\*\*\* 영남대학교 박사과정

\* Assistant Prof., Dept. of Automotive Eng.  
Taegu Technical College.  
E-mail : shnoh@pyunji.taegutech.ac.kr

\*\* Shidae Heavy Ind., Co.

\*\*\* Graduate Student, Dept. of Mechanical Engineering,  
Yeungnam University.

본 연구는 1998년도 대구공업대학 산업기술연구소와 시대중공업의 산학공동기술 연구비 지원에 의하여 수행되었으며 이에 감사드립니다

이나 경험에 관계 없이 절삭조건이 자동적으로 적절하게 선정되는 것이 요구된다. 절삭력제어란 절삭깊이 및 주축회전수가 변할때 이송속도를 자동적으로 변화시켜 절삭력을 일정하게 유지하는 것으로, 특히 파트프로그램을 단순화 할 수 있으며, 심지어 초보 파트프로그래머도 절삭깊이가 변화될 때 이송속도에 대하여 신경쓸 필요가 없다. 그리고 금속제거율(metal removal rate)을 증가시켜 생산성을 향상시킬 수 있으며 과도한 절삭력을 방지하여 제어시스템을 항상 안정하게 유지할 수 있기 때문에 공작물과 공구를 보호할 수 있다.

절삭력제어기로 구조가 간단하고 실현하기가 용이한 PI제어기나 PID 제어기를 생각할 수 있으나 절삭공정의 비선형 특성과 절삭소재와 공구의 수많은 조합에 따른 다양한 절삭공정을 견실하게 제어하기에는 불충분하다.

절삭가공에서 일어나는 이러한 문제점들을 해결하기 위하여 적응제어 방법들이 많이 연구되었다. Koren과 Masory<sup>(1~3)</sup>는 가변이득적응제어(variable gain adaptive control)를 제안하였다. 이것은 절삭조건의 변화에도 개회로 이득을 일정하게 유지하기 위하여 적분제어기의 이득을 가변시키는 제어방법으로, 알고리즘이 간단하다는 장점이 있지만 체계적인 방법이 되지 못하였다. 모델기준 적응 제어(model reference adaptive control)는 원하는 동특성을 갖는 기준모델을 설정하여 이 기준 모델의 출력과 플랜트의 출력이 일치하도록 플랜트의 파라메터를 조정하는 방식으로, Tomizuka 등<sup>(4)</sup>은 선삭에서 이송속도와 절삭력 사이의 동특성을 예측하기 위한 수학적모델을 제시하였고, 적응 PI제어기와 고정 이득 PI제어기의 성능을 비교하였다. Lauderbaugh 등<sup>(5)</sup>은 밀링에서 모델기준적응제어기가 고정이득 제어기에 비하여 우수한 성능을 나타내었지만 적응제어기가 잡음에 매우 민감하고, 알고리즘의 실행시간이 길기 때문에 이에 대한 개선이 요구된다고 하였다.

Daneshmend 등<sup>(6)</sup>은 선삭에서 절삭력제어를 위하여 여러가지 모델기준적응제어 알고리즘을 시뮬레이션에 의하여 성능을 평가하였다. 그리고, 자기동조 적응 제어(self tuning adaptive control)방식은 플랜트의 파라메터를 추정하면

서 추정된 파라메터를 바탕으로 적절한 제어기를 설계하는 방식으로 Elbestawi 등<sup>(7,8)</sup>이 밀링에 적용하였다. Fassois 등<sup>(9)</sup>은 자기동조적응제어에서 계산을 보다 간단히 할 수 있는 알고리즘을 시뮬레이션을 통하여 평가하였다. 그러나 이들 적응제어방식은 정확한 수학적 해석에 의존하고 있기 때문에 모델링의 한계에 부딪히게 되고 대개 알고리즘이 매우 복잡하여 현재 상용화된 마이크로프로세서나 컴퓨터상에서 실시간 구현이 어렵기 때문에 동특성이 빠른 시스템에 대한 응용을 제한하고 있다.

절삭과정은 빠른 동특성 변화로 인하여 절삭력을 일정하게 유지하기 위하여 빠른 이송제어가 요구된다. 그리고 절삭과정은 시변 비선형(time varying nonlinear)성이며 구조가 복잡하여 정확한 제어시스템의 모델링이 어렵다. 이와 같은 관점에서 볼 때 반응속도가 빠르고 제어시스템의 모델링이 필요치 않는 제어기의 개발이 요망된다.

이러한 문제점을 해결하기 위하여 사람의 지능제어기법을 도입한 퍼지제어를 선삭가공에 적용해 보고자 한다. 퍼지제어는 직관과 경험에 그 기초를 두고 있으며, 여러개의 경험론적 결정규칙의 집합으로 구체적인 수학적모델이 필요없다. 퍼지집합 이론은 Zadeh<sup>(11)</sup>에 의해 이론적 근거가 확립되었으며, Mamdani<sup>(12)</sup>에 의해 제어에 처음으로 도입되었다. Mamdani는 퍼지제어를 모형 증기 기관 제어에 직접 응용하였다. 그 이후 최근까지 퍼지제어는 산업계에 널리 응용되어 왔으며, 그 대표적인 예로서, Yasunobu<sup>(13~14)</sup>의 지하철 운전, 컨테이너 크레인운전, Sugeno<sup>(15)</sup>의 자동차운전, Li<sup>(16)</sup>의 서보시스템제어 등 여러분야에 도입되어 좋은 결과를 얻었으며 최근에는 복잡하고 느린 공정시스템에서부터 로봇 및 서보제어와 같은 빠른 시스템까지 퍼지제어의 응용범위를 넓혀가고 있다.

본 연구에서는 선삭가공에서 절삭조건의 변화에도 절삭력을 일정하게 유지하기 위하여 새로운 퍼지제어기를 제안하고, 제안된 퍼지제어기의 유용성을 검토하기 위하여 절삭깊이와 주축의 회전수 등의 절삭조건을 변화시키면서 절삭력 실험을 행하였다.

## 2. 퍼지제어기 설계

퍼지제어기는 명확한 값(crisp value)으로 측정된 입력변수값을 적절한 퍼지값(퍼지집합)으

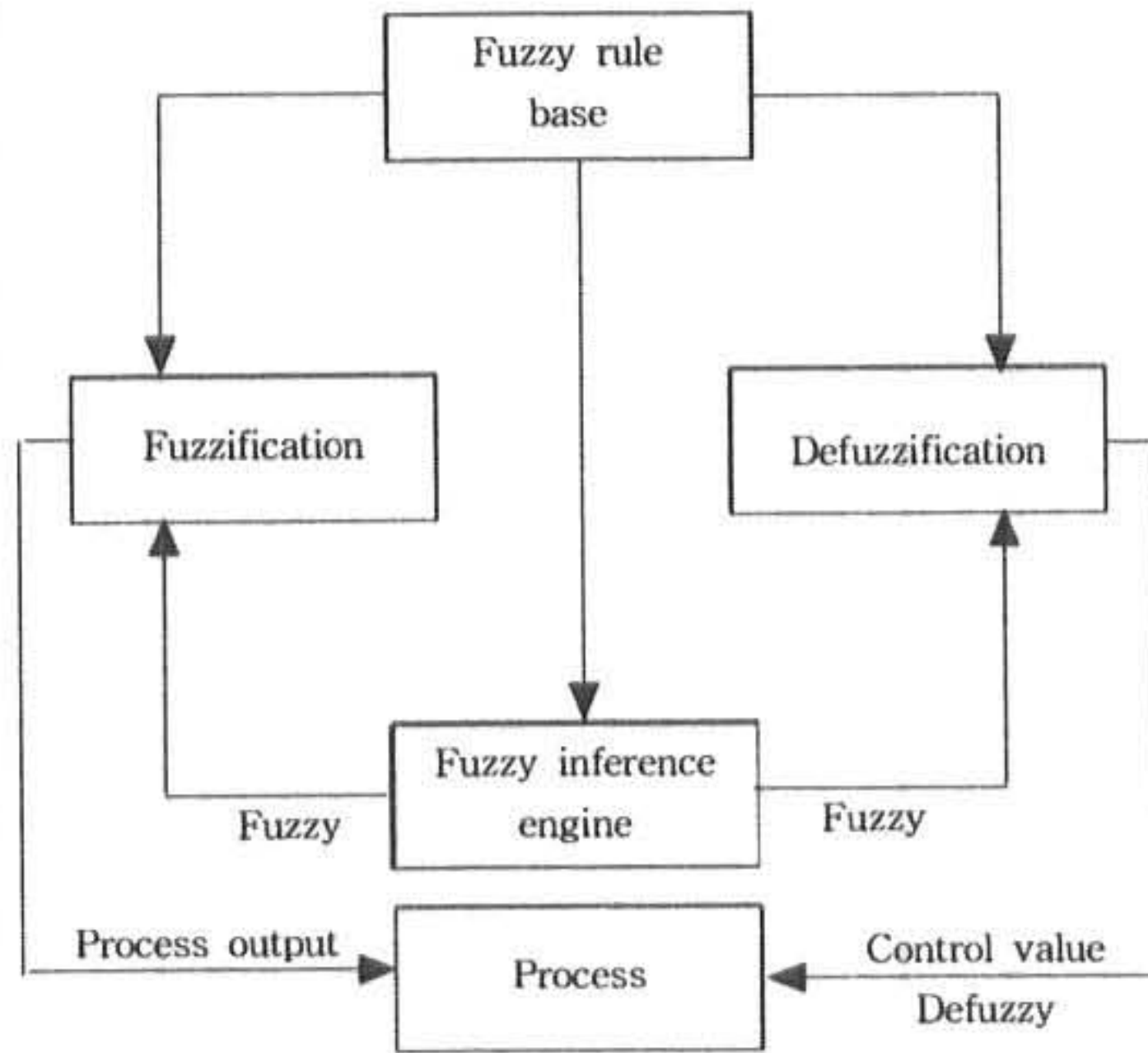


Fig. 1 Basic configuration of fuzzy logic controller

로 바꾸어주는 퍼지화부와 그 반대로 작용하는 비퍼지화부, "If - Then - " 형태의 복수개의 규칙들로 되어 있는 퍼지규칙부, 그리고 퍼지규칙들을 이용하여 퍼지입력에 대한 퍼지출력을 추론해 내는 퍼지추론장치부 등으로 되어 있으며 기본 구성은 Fig. 1과 같다.

본 연구에서는 선삭과정에서의 주절삭력을 일정하게 하는 것이 목적이므로 퍼지제어기의 입력변수를 기준절삭력과 계측절삭력의 차인 절삭력오차와 그 오차의 변화량으로 하고, 출력변수는 절삭력을 조절하기 위해 이송속도 조절에 사용되는 DC 모터 입력 전원으로 하였다. 그러므로 조건부변수는 오차( $e$ )와 오차의 변화량( $\Delta e$ )이고, 결론부 변수는 제어입력의 변화량( $\Delta u$ )로 된다. 이를 수식으로 나타내면 다음과 같다.

$$e(k) = F_r(k) - F_c(k) \quad (1)$$

$$\Delta e = e(k) - e(k-1) \quad (2)$$

$$u(k) = u(k-1) + \Delta u(k) \quad (3)$$

여기서  $F_r(k)$ 와  $F_c(k)$ 는 각각  $k$ 번째 샘플링 시간의 기준절삭력과 실제절삭력이고,  $u(k)$ 는  $k$  번째 제어입력량이다.

조건부 변수와 결론부 변수가 정해지면 실제

값을 퍼지변수인  $E$ ,  $\Delta E$  및  $\Delta U$ 로 변환한다.

$$E = G_e e \quad (4)$$

$$\Delta E = G_c \Delta e \quad (5)$$

$$\Delta U = (1/G_u) \Delta u \quad (6)$$

여기서  $G_e$ ,  $G_c$  및  $G_u$ 는 실제값을 퍼지 변수로 바꾸어 주는 상수이다.

절삭력오차가  $\pm 400N$  정도 변화하므로  $\pm 400N$ 과 퍼지 대표값  $\pm 4$ 와 대응시키기 위하여  $G_e$ 와  $G_c$ 를 0.01로 하였고, 제어입력 전압변화를  $\pm 1V$ 로 하기 위하여  $G_u$ 를 2로 선정하였다. 그러므로 퍼지제어 입출력 관계는 다음과 같다.

$$R : E \times \Delta E \rightarrow \Delta U \quad (7)$$

소속함수는 설계자의 경험적 지식과 시뮬레이션을 통하여 제어변수  $E$ ,  $\Delta E$  및  $\Delta U$ 에 대한 퍼지변수를 다음과 같이 9개의 용어집합(term set)으로 정의 하였다.

$$T = \{PVB, PB, PM, PS, ZO, NS, NM, NB, NVB\}$$

여기서, NVB : Negative Very Big  
NB : Negative Big  
NM : Negative Medium  
NS : Negative Small  
ZO : Zero  
PS : Positive Small  
PM : Positive Medium  
PB : Positive Big  
PVB : Positive Very Big

설계한 소속함수는 퍼지 추론시 수식 계산을 쉽게하기 위하여 삼각형 형태로 설계하였고, 입출력 변수에 대한 전체집합(universe of discourse)을 계측량의 변화 폭과 조작값의 영향성

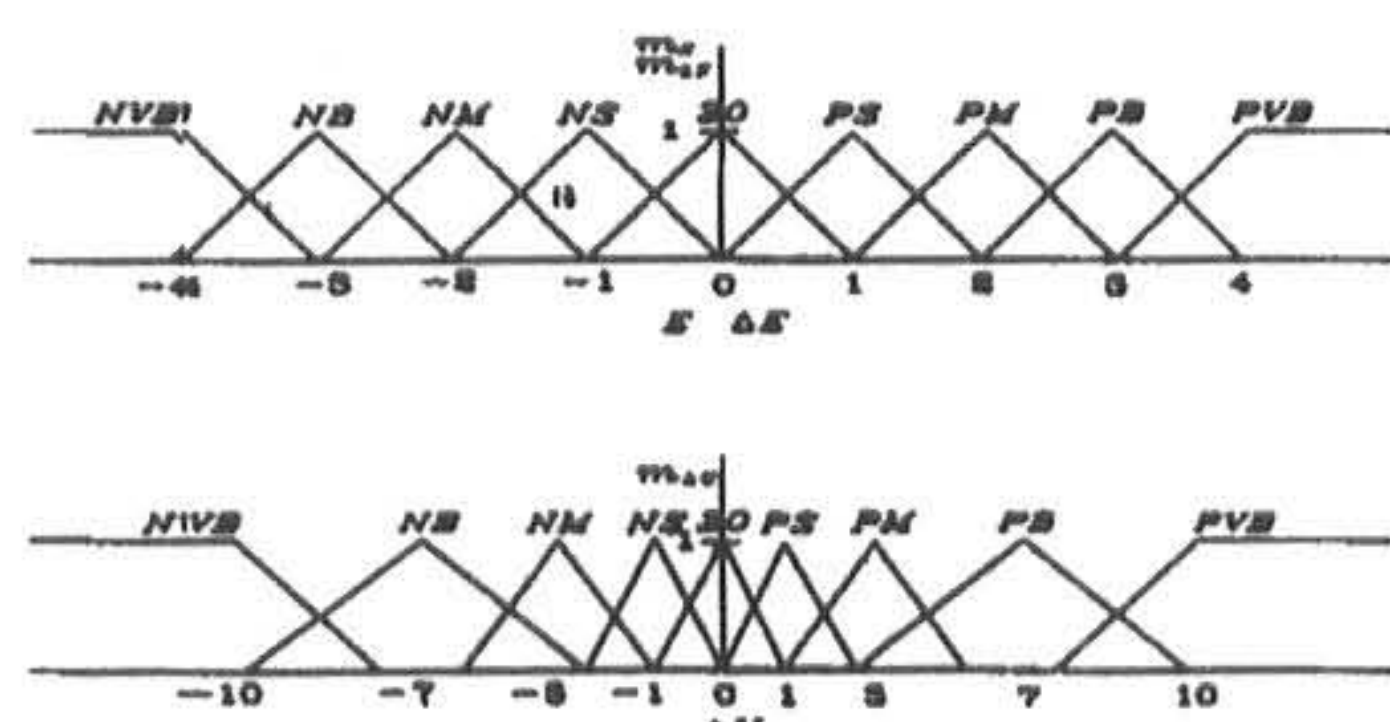


Fig. 2 Membership functions of fuzzy variables

Table 1 Rule base for fuzzy logic controller

$\Delta E$	NVB	NB	NM	NS	ZO	PS	PM	PB	PVB
E	NVB	NVB	NVB	NVB	NVB	NB	NM	NS	ZO
NVB	NVB	NVB	NVB	NVB	NB	NM	NS	ZO	PS
NB	NVB	NVB	NVB	NVB	NB	NM	NS	ZO	PS
NM	NVB	NVB	NVB	NB	NM	NS	ZO	PS	PM
NS	NVB	NVB	NB	NM	NS	ZO	PS	PM	PB
ZO	NVB	NB	NM	NSNS	ZO	PS	PM	PB	PVB
PS	NB	NM	NS	ZO	PS	PM	PB	PVB	PVB
PM	NM	NS	ZO	PS	PM	PB	PVB	PVB	PVB
PB	NS	ZO	PS	PM	PB	PVB	PVB	PVB	PVB
PVB	ZO	PS	PM	PB	PVB	PVB	PVB	PVB	PVB

을 고려하여 설정하였다.

Fig.2는 퍼지변수들의 멤버쉽함수를 나타낸다.

본 연구의 퍼지 제어기는 Two-Input / Single -Output(MISO) 시스템이므로 제어 규칙은 다음과 같이 표현된다.

$$R = \{R^1_{\text{MISO}}, R^2_{\text{MISO}}, \dots, R^n_{\text{MISO}}\}$$

여기서  $R^i_{\text{MISO}}$ 는 "If - then"문으로 아래와 같이 기술할 수 있다.

"If  $E$  is  $PB$  and  $\Delta E$  is  $PS$ , then  $\Delta U$  is  $PVB$ "

위의 입출력관계에 따라 제어규칙을 만들면 Table1과 같다.

제어규칙이 만들어지면 입력조건에 따른 출력을 추론한다. 추론은 제어에 널리 사용되는 Mamdani의 Minimum연산을 이용하여 추론을 행한다.

아래와 같은 두개의 제어규칙이 존재하면,

$R_1$  : If  $E$  is  $PB$  and  $\Delta E$  is  $ZO$  then  $\Delta U$  is  $PB$

$R_2$  : If  $E$  is  $PM$  and  $\Delta E$  is  $ZO$  then  $\Delta U$  is  $PM$

규칙에 대한 적합도는 다음과 같으며,

$$w_1 = PB(E) \wedge ZO(\Delta E) \quad (8)$$

$$w_2 = PM(E) \wedge ZO(\Delta E) \quad (9)$$

$R_1, R_2$  규칙에 의한 추론결과는 아래와 같다.

$$PB^* = w_1 \wedge PB(\Delta U) \quad (10)$$

$$PM^* = w_2 \wedge PM(\Delta U) \quad (11)$$

두개의 추론은 무게중심법을 사용하여 비퍼지화 한다.

$$\Delta U = \frac{\Delta U_1 PB^* + \Delta U_2 PM^*}{PB^* + PM^*} \quad (12)$$

여기서  $\Delta U_1$  와  $\Delta U_2$ 는  $\Delta U$ 의 중심좌표에서 추론값의 위치이다.

퍼지 추론과정과 비퍼지화를 그림으로 나타내면 Fig. 3과 같다.

그러므로 공정 제어입력은 다음과 같다.

$$u(k) = u(k-1) + G_u \Delta U(k) \quad (13)$$

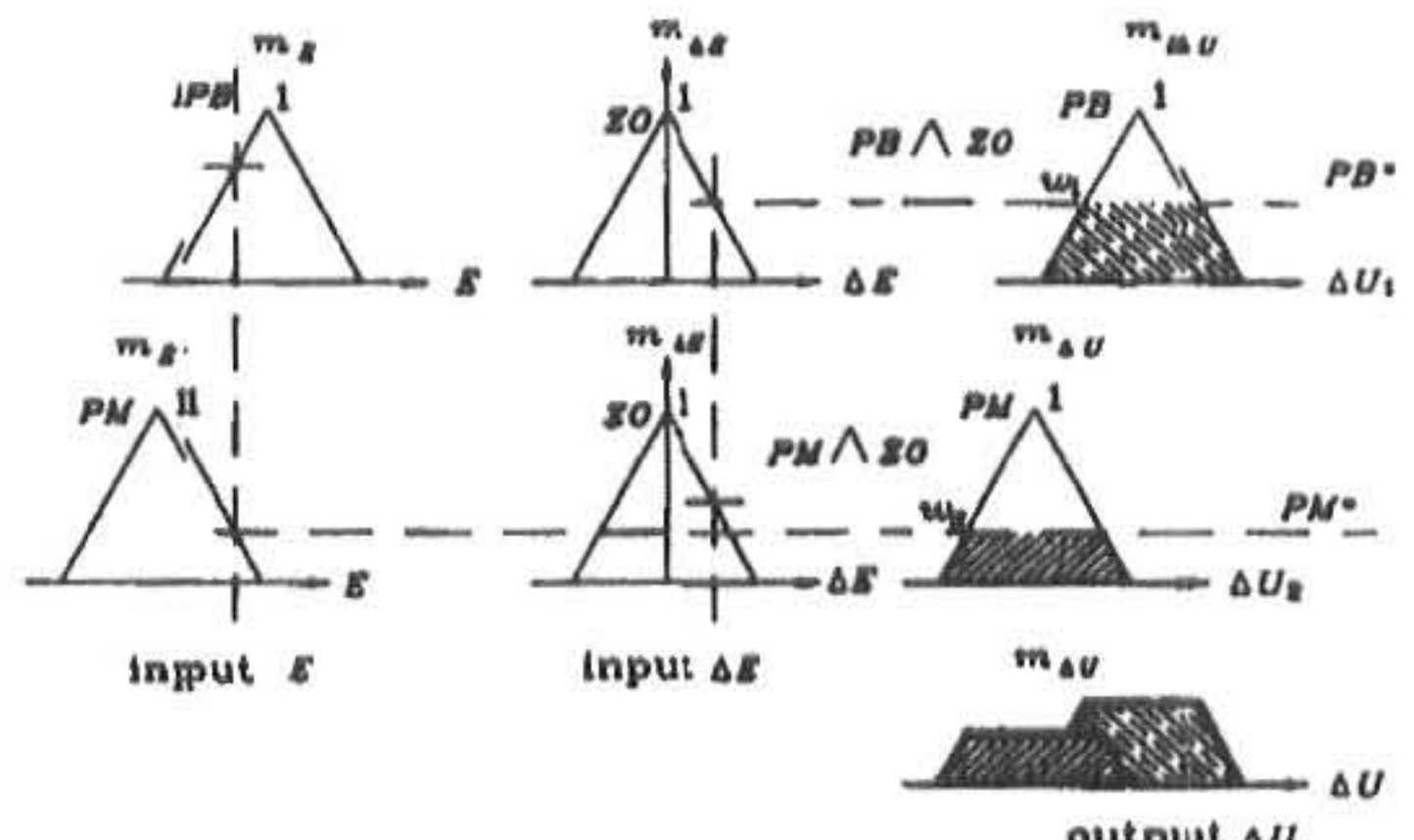


Fig. 3 Diagrammatic representation of fuzzy reasoning and defuzzification

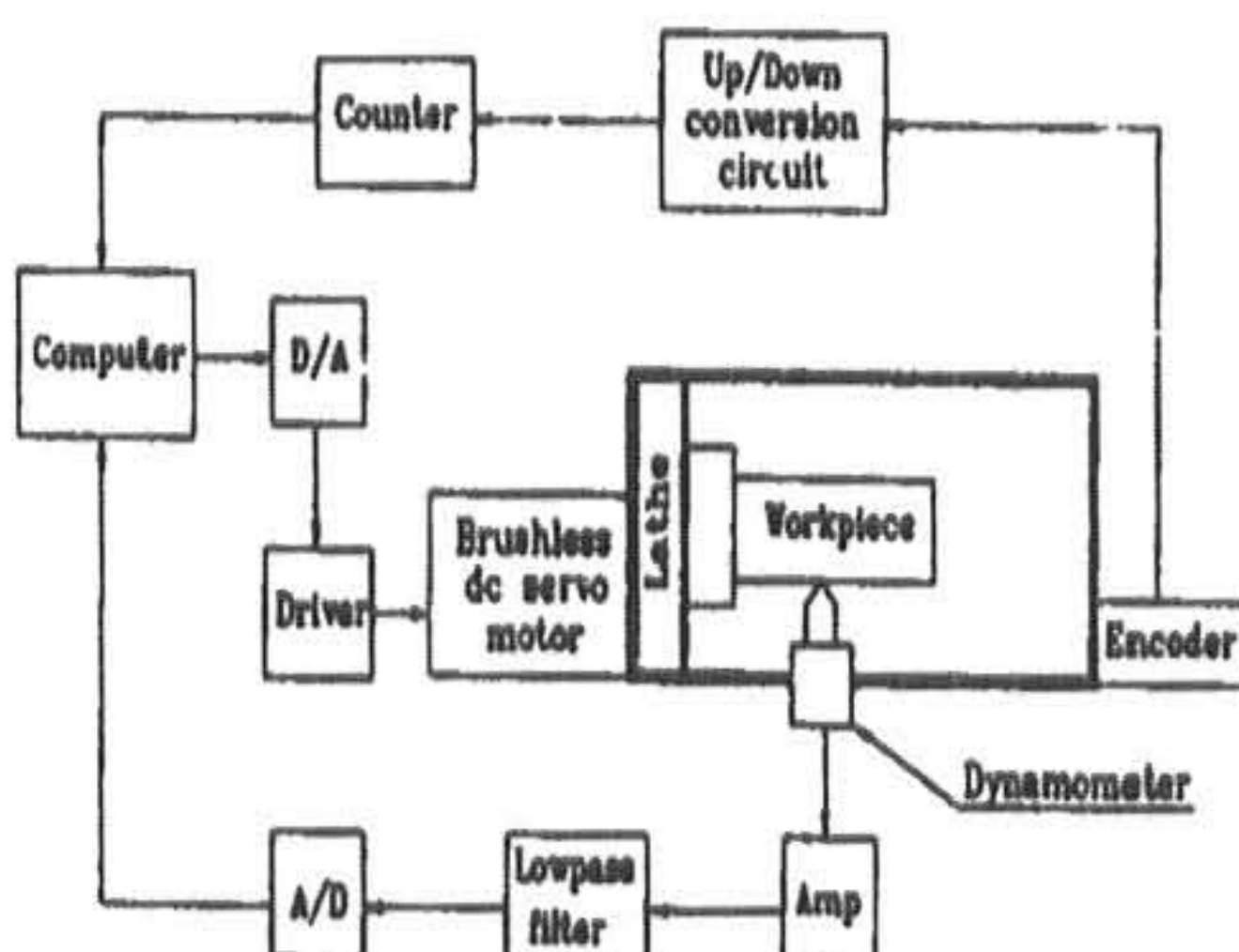


Fig. 4 Schematic diagram of experimental set up

### 3. 실험장치 및 실험방법

본 연구의 실험장치는 CNC선반 대신에 일반 범용선반을 개조하여 자동화시킨 선반을 이용하였다. 시스템의 구성은 선반, 퍼스널 컴퓨터와 주변장치, 브러시리스 DC 서보 모터, 공구 동력계, 증폭기, A/D 및 D/A변환기, 엔코더, 업/다운(up/down)변환회로, 32비트 펄스카운터 등으로 구성되며 실험 장치의 개략적인 구성도는 Fig.4와 같다.

이송 기어박스를 분리하여 이송봉에 DC 서보 모터를 장착하여 이송을 조정하고, 공구 동력계를 통하여 측정된 절삭력은 증폭기에 의해 증폭되고 A/D변환기를 통하여 컴퓨터에 입력된다. 또한 제어기 출력은 D/A변환기를 거쳐 아날로그 신호로 변환되어 DC 서보 구동기로 입력된다. 선반은 일반 보통선반으로 주축용 모터의 동력은 2.2kW이며 주축의 회전수 변속은 수동으로 조정되어 일정하게 유지된다. 이송거리와 이송속도를 계측하기 위해 이송봉끝에 엔코더(1000pulse/rev)를 부착하였다. 엔코더 신호는 방향판별을 위한 업/다운 변환회로를 거쳐 32비트 카운터에서 계측되어 컴퓨터에 입력된다. 공구동력계를 통하여 계측되는 절삭력신호는 증폭기에 의하여 증폭되고 컷-오프 주파수(cut-off frequency)가 10Hz인 저역필터에 의하여 잡음을 제거한 후 A/D변환기를 거쳐 컴퓨터에 입력되어 저장된다. 시편은 탄소강(SM 45 C)을, 공구는 초경공구를 사용하였으며, 기준절

Table 2 Specification of experimental equipment

Equipment	Specification
Lathe	Daegu Heavy Eng. DLF 400X750
Brushless DC Servo Motor	Toei Electric Co. DLDC-01H
DC Servo Driver	Toei Electric, VLTT-01H
Encoder	Koyo, TRD-J1000-RZ
Dynamometer	Kyowa, TD-300KA
Strain Amplifier	Kyowa, DMF310B
Tool	Korea Tungsten, KT300
A/D,D/A Converter	Hando, PC-Lab 812 Resolution:12bit Conversion rate:30kHz
Computer	Pentium

삭력은 주축모터의 동력, 시편의 재질 및 절삭 조건 등을 고려하여 1kN으로 하였으며, 샘플링

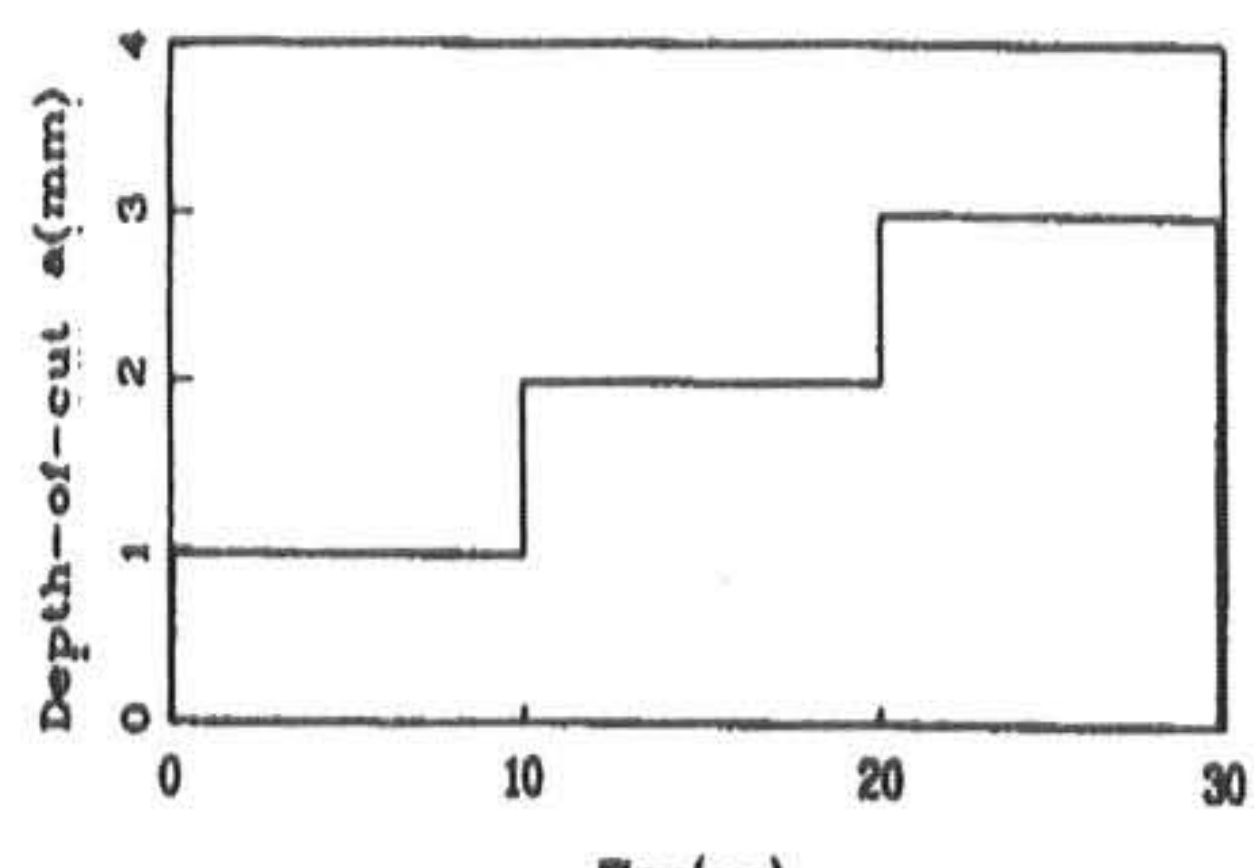


Fig. 5 Diagram of depth-of-cut versus cutting time

시간은 0.05초로 하였다. 절삭깊이를 변화시키기 위하여 Fig.5와 같이 1mm씩 미리 계단 모양으로 가공하여 1mm, 2mm, 3mm를 각각 10초씩 30초간 실험하였다.

이송  $f(\text{mm}/\text{rev})$ , 이송속도  $V_f(\text{m}/\text{sec})$  및 주축의 회전수  $n(\text{rev}/\text{min})$ 과의 관계는 식(14)<sup>(10)</sup>와 같이 나타낼 수 있다.

$$f = \frac{60}{n} V_f \quad (14)$$

$V_f$ 는 단위시간당 이송거리  $s(\text{mm})$ 로 식(15)과 같이 나타낼 수 있다.

$$V_f = \frac{s}{t} \quad (15)$$

따라서 식(14)와 식(15)로 부터 이송거리는 식(16)과 같이 나타낼 수 있다.

$$s = \frac{n}{60} ft \quad (16)$$

식(16)으로 부터 각각의 절삭깊이에 대해 근사적으로 정상상태의 이송속도를 고려하여 미리 이송거리에 따른 형상을 가공하여 실험하였다.

그리고 주축의 회전수는 245rpm, 405rpm, 700rpm에 대하여 각각 실험하였다.

#### 4. 결과 및 고찰

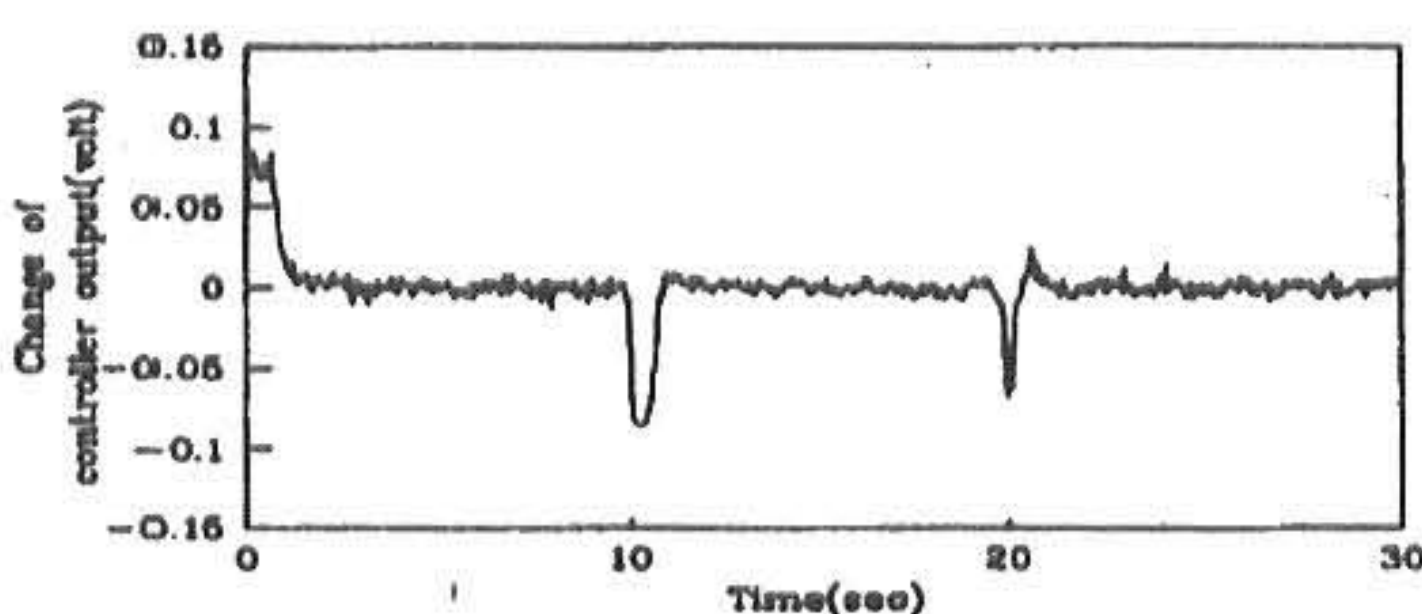
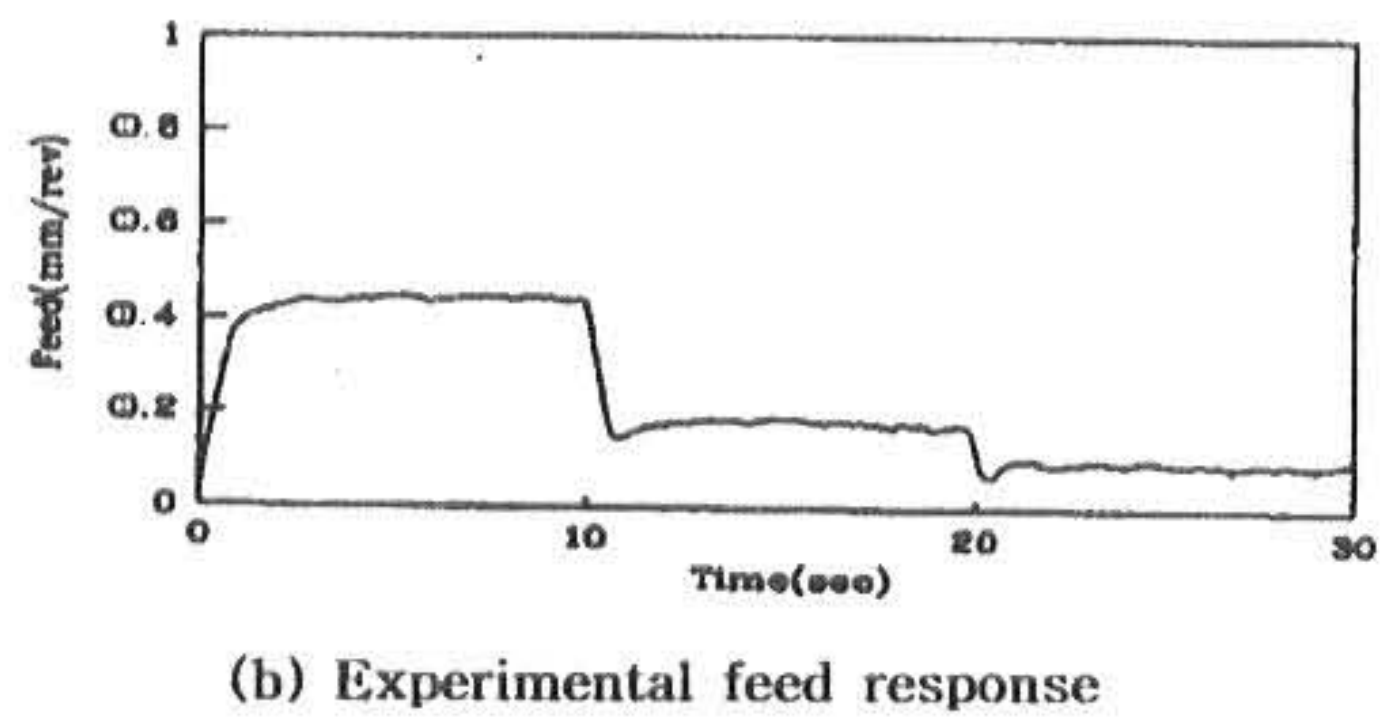
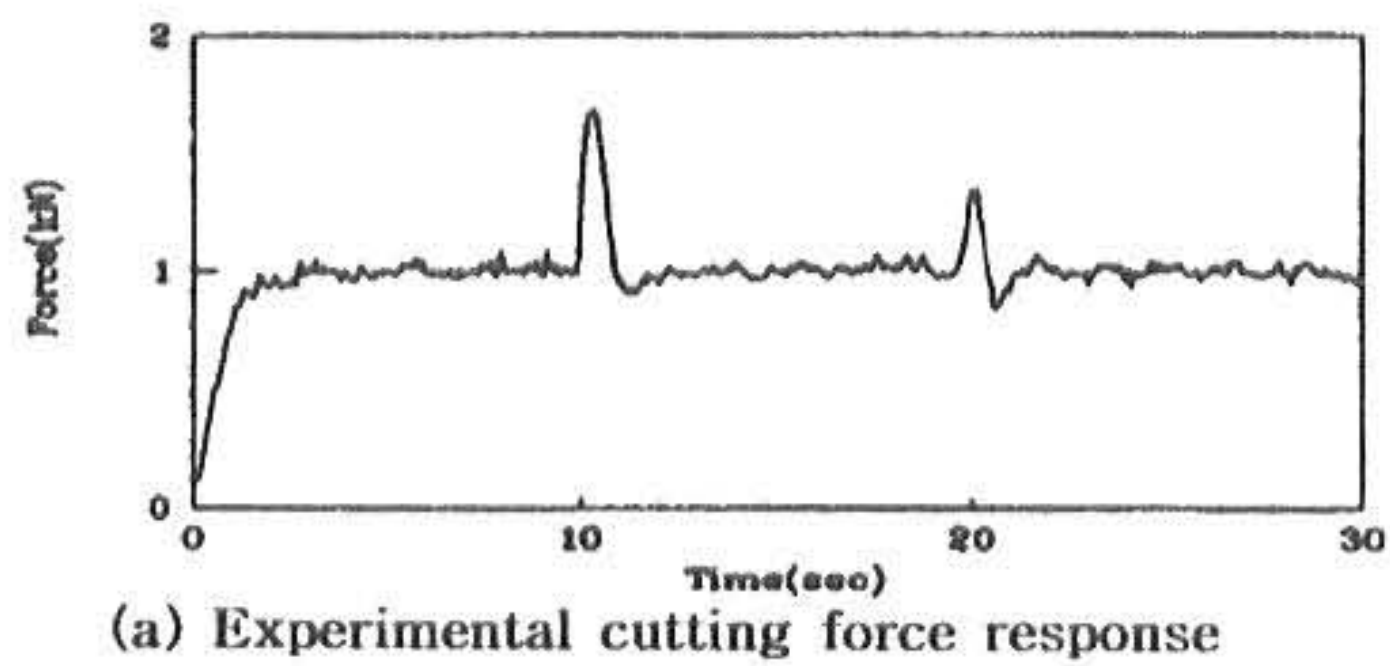


Fig. 6 Response of fuzzy controller with 245rpm

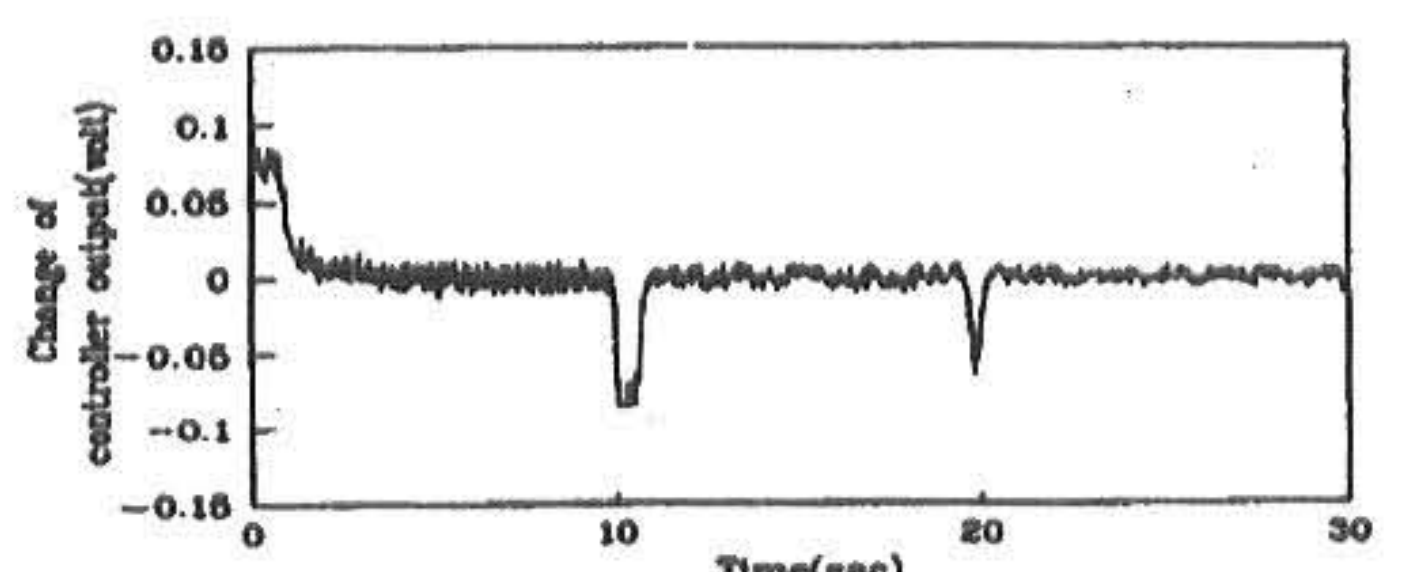
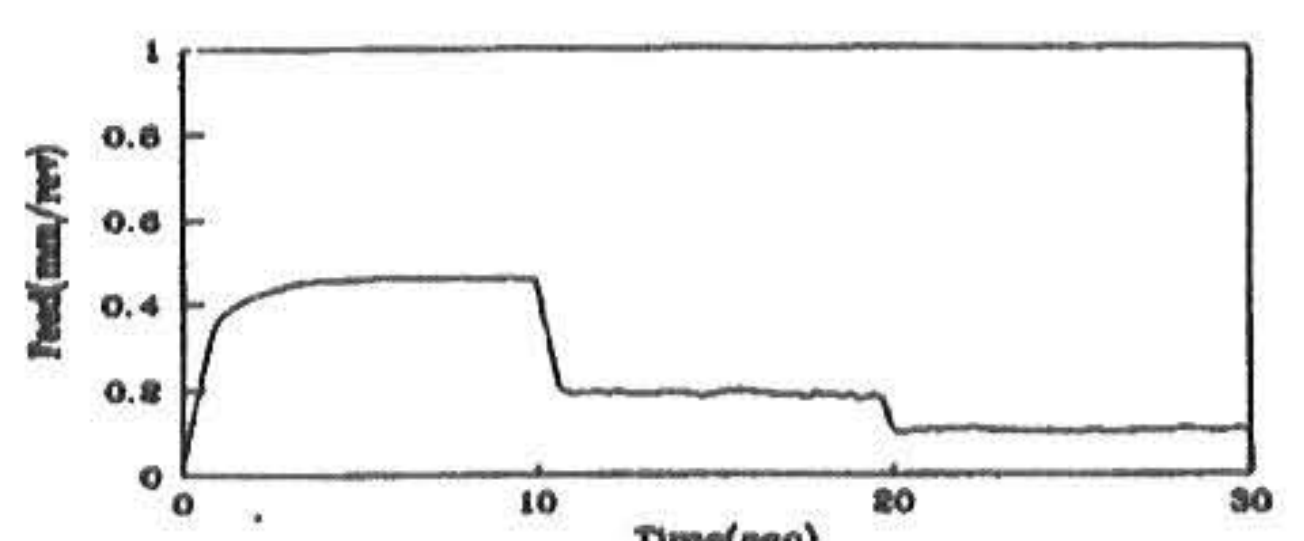
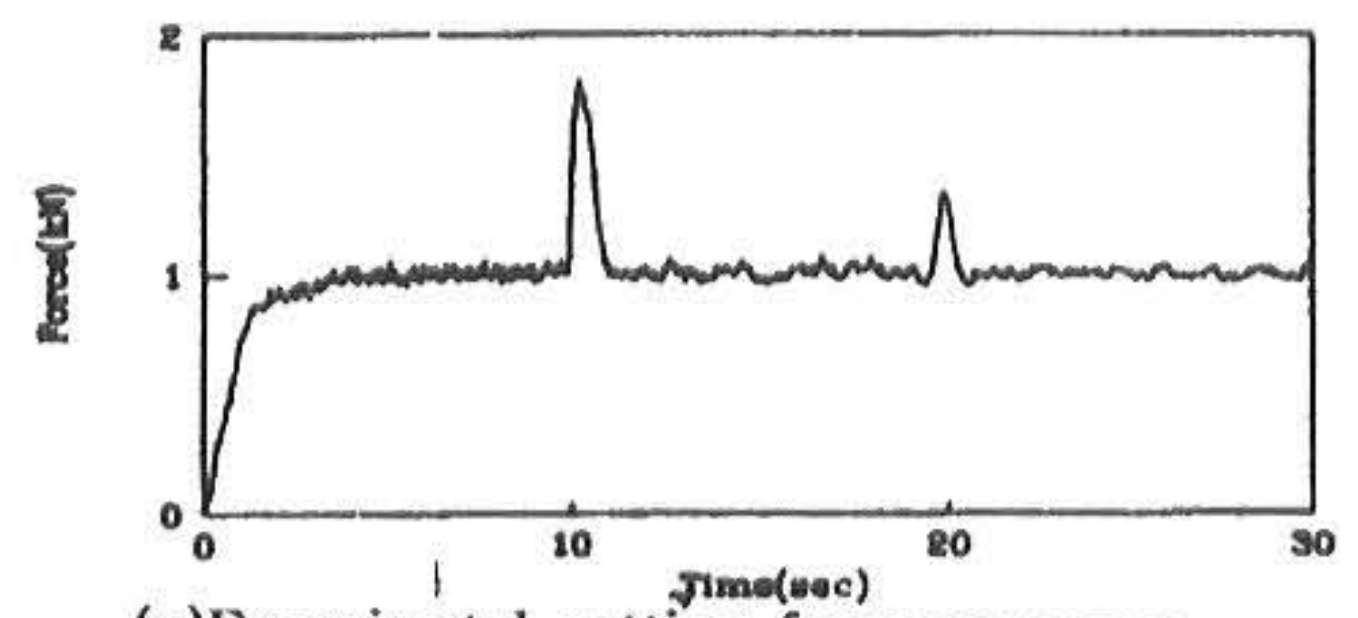


Fig. 7 Response of fuzzy controller with 405rpm

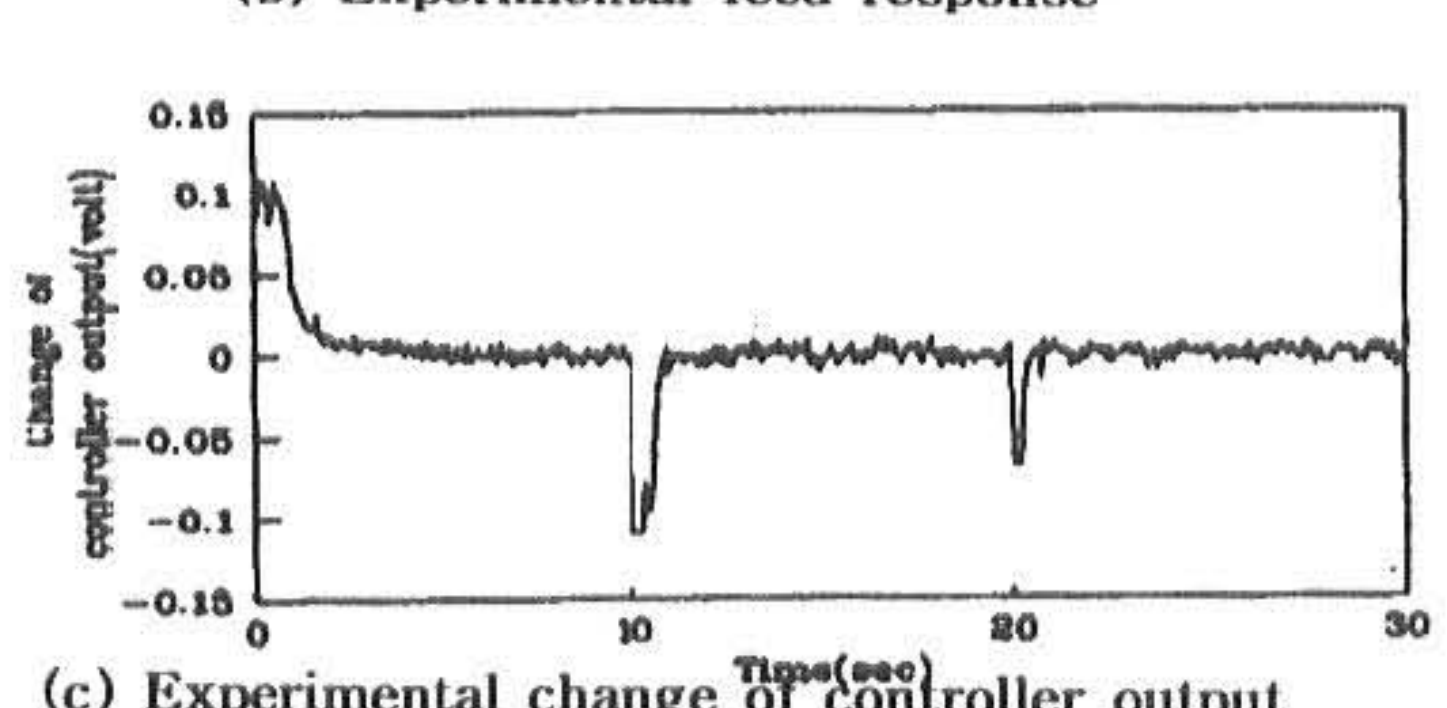
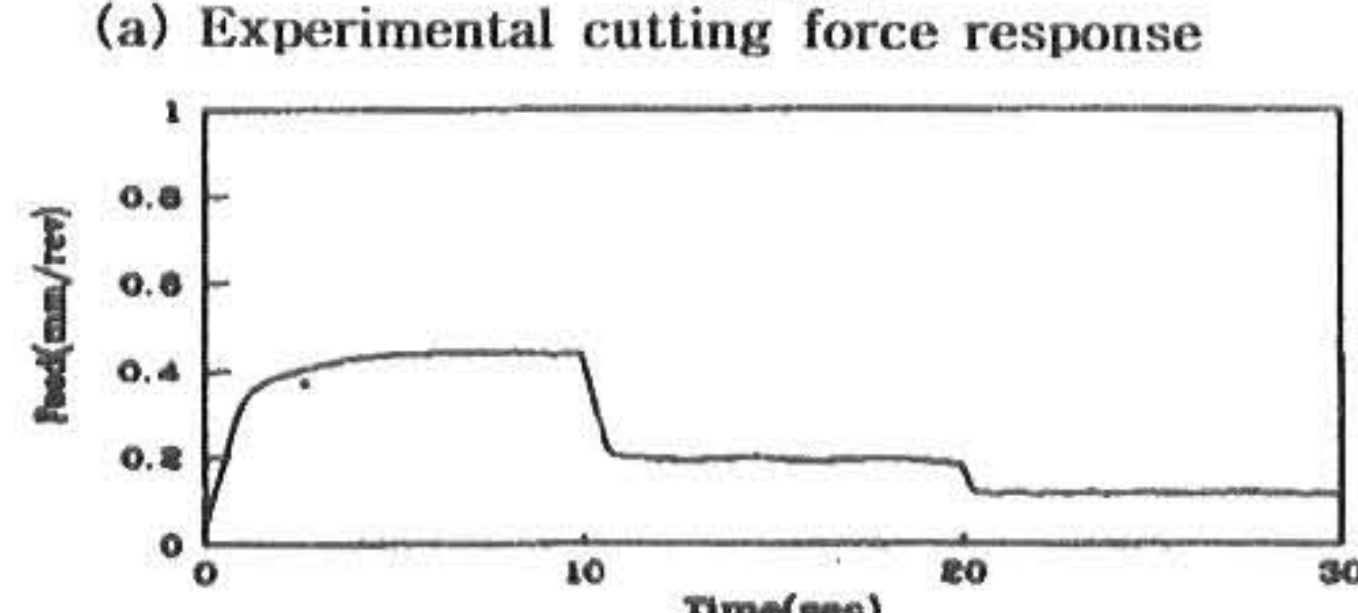
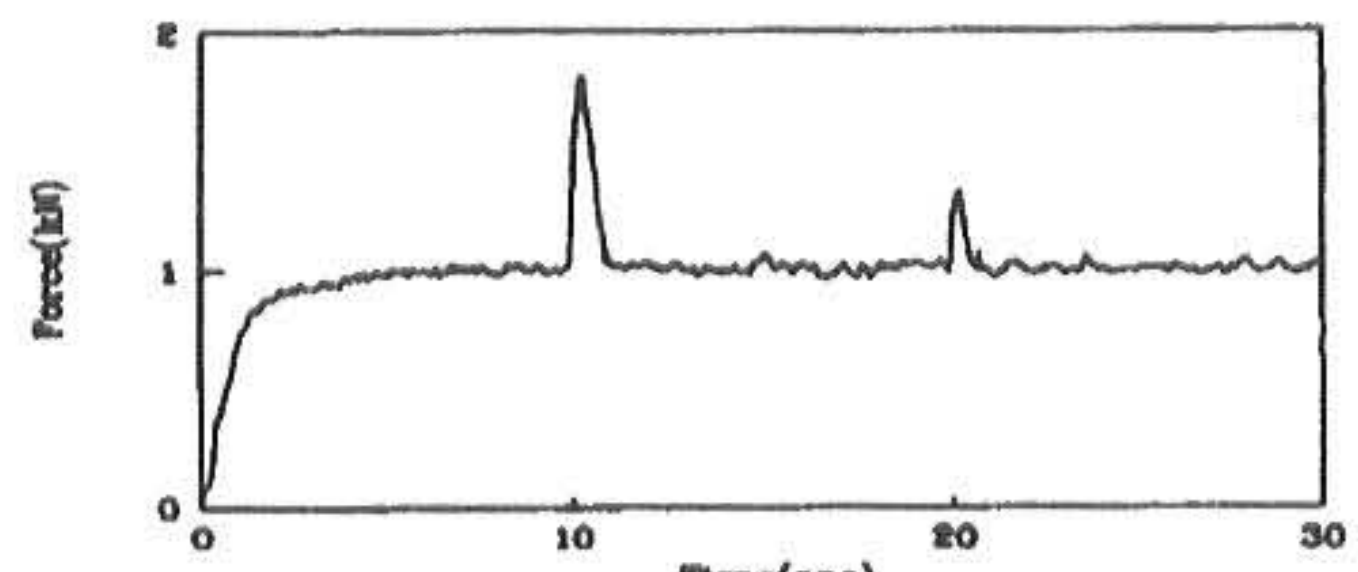


Fig. 8 Response of fuzzy controller with 700rpm

본 연구에서는 선삭가공에서 절삭깊이 및 주축회전수 등의 절삭조건이 변할 때 주절삭력을 일정하게 제어하기 위하여 퍼지제어기를 설계하였다. 제안된 퍼지제어알고리즘의 성능을 평가하기 위하여 절삭실험을 행하였다.

Fig. 6은 주축의 회전수가 245rpm인 경우의 실험결과를 나타낸다. 절삭깊이가 단계적으로 깊어짐에 따라 이송은 단계적으로 감소하여 절삭력은 기준절삭력인 1kN으로 일정하게 제어됨을 알 수 있다. 제어기 출력의 변화량은 초기에 기준절삭력에 도달할 때 까지 증가하며, 곧 기준절삭력에 도달하게 되어 제어기 출력의 변화량이 거의 없이 일정하게 유지됨을 알 수 있다. 그리고 절삭깊이가 1mm에서 2mm, 2mm에서 3mm로 급격하게 증가할 때 절삭력이 순간적으로 증가하고, 이때 제어기 출력의 변화량은 순간적으로 감소되어 곧 기준절삭력으로 유지됨을 알 수 있다. Fig. 7과 Fig. 8은 주축의 회전수가 각각 405rpm, 700rpm인 경우의 실험결과를 나타낸다. 주축의 회전수가 405rpm, 700rpm인 경우에서도 245rpm인 경우와 마찬가지로 절삭깊이가 단계적으로 증가할수록 이송은 반대로 단계적으로 감소하게 되어 절삭력이 일정하게 제어됨을 알 수 있다. 그리고 절삭깊이가 1mm씩 일정하게 증가할 때 이송이 일정하게 감소하지 않는 것은 절삭과정이 비선형성이기 때문이다.

이상의 실험결과에서 알 수 있듯이 비선형성이 선삭가공에서 퍼지제어기를 이용할 경우 절삭깊이 및 주축회전수 등의 절삭조건의 변화에서도 절삭력을 일정하게 유지할 수 있음을 알 수 있었다.

## 5. 결 론

본 연구에서는 시스템이 복잡하고 절삭과정이 비선형적인 선삭가공에서 절삭깊이와 주축회전수 등의 절삭조건의 변화에서도 일정한 절삭력을 유지하기 위하여 퍼지제어기를 제안하였다. 기존의 보통선반을 퍼지제어시스템으로 개발하였고 초경공구와 탄소강(SM45C)을 사용하여 절삭실험한 결과 절삭조건의 변화에서도 절삭력이 일정하게 유지되었다. 그리고 종래의

적응제어에서는 시스템의 모델이 필요하나 퍼지제어에서는 시스템의 모델이 필요없으며 퍼지추론에 의하여 일정절삭력제어가 가능하였다. 그러므로 선삭가공에 퍼지제어를 적용할 경우 여러가지 절삭조건의 변화에도 항상 일정한 절삭력을 유지할 수 있기 때문에 과부하로 인한 공구의 파손을 막을 수 있으며, 금속제거율을 증가시켜 가공시간을 단축할 수 있기 때문에 생산성을 향상시킬 수 있다.

## 참 고 문 헌

- 1) Masory, O. and Koren, Y., 1983, "Variable-Gain Adaptive Control System for Machine Tools", Journal of Manufacturing Systems, Vol.2, No.2, pp.165-174.
- 2) Masory, O. and Koren, Y., 1985, "Stability Analysis of a Constant Force AC System for Turning", Trans. ASME, Journal of Engineering for Industry, Vol.107, No.4, pp.295-300.
- 3) Masory, O., 1984, "Real-Time Estimation of Cutting Process Parameters in Turning", Trans. ASME, Vol.106, pp.218-221.
- 4) Tomizuka, M. and Zhang, S., 1988, "Modeling and Conventional/Adaptive PI Control of a Lathe Cutting Process", Trans. ASME, Vol.110, pp.350-354.
- 5) Lauderbaugh, L.K., and Ulsoy, A.G., 1989, "Model Reference Adaptive Force Control in Milling", Trans. ASME, Journal of Engineering for Industry, Vol.111, No.111, pp.13-21.
- 6) Dameshmed, L.K., and Pak, M.A., 1986, "Model Reference Adaptive Control of Feed Force in Turning", Trans. ASME, J. Dyn. Meas. and Cont., Vol.108, pp.215-222.
- 7) Elbestawi, M.A., Mohamed, Y., Liu, L., 1990, "Application of Some Parameter Adaptive Control Algorithms in Machining", Trans. ASME, J. Dyn. Meas. and Cont., Vol.112, pp. 611-617
- 8) Elbestawi, M.A., and Sagherian, R., 1987, "Paramter Adaptive Control in Peripheral Milling", Int. J. Mach. Tools Manufact.,

- Vol.27, No.3, pp.399-414.
- 9) Fassois, S.D., Eman, K.F., Wu.S.M., 1989 "A Fast Algorithm for On-Line Machining Process Modeling and Adaptive Control", Trans. ASME, Journal of Engineering for Industry, Vol.111, No.111, pp.133-139.
- 10) 노상현, 김진락, 김교형, 1993, "선삭가공에서 절삭력을 일정하게 유지하기 위한 적용 제어", 대한기계학회논문집 제17권, 제1호, pp.69-77.
- 11) Zadeh, Lotfi, A., 1973, "Outline of a New Approach to the Analysis of Complex System and Decision Processes", IEEE Tr. on System, Man, and Cybernetics, Vol. SMC-3, No.1, pp.28-44.
- 12) Mamdani, E. H., 1974 "Application of Fuzzy Algorithms for Control of Simple Dynamic Plant", IEEE Proc. Control & Science, Vol. 121, No.12, pp.1585-1588.
- 13) Yasunobu, S., Miyamoto, S., 1985, "Automatic Train Operation System by Predictive Fuzzy Control", in Industrial Application of Fuzzy Control, M. Sugeno(ed.), Elsevier Science Publisher B.V.(North Holland), pp.1-18.
- 14) Yasunobu, S., Hasegawa, T., 1987, "Predictive Fuzzy Control and Its Application for Automatic Container Crane Operation System", in Proc. 2nd IFSA Congress, Tokyo, Japan, pp.349-352.
- 15) Sugeno, M., Nishida, M., 1985, "Fuzzy Control of Model Car", Fuzzy Sets and Systems, Vol.16, pp.103-113.
- 16) Li, Y. F., Lau, C. C., 1989, "Development of Fuzzy Algorithms for Servo Systems", IEEE Control System Magazine, pp.65~72.

---

(2000년 1월28일 접수, 2000년 5월 20일 채택)